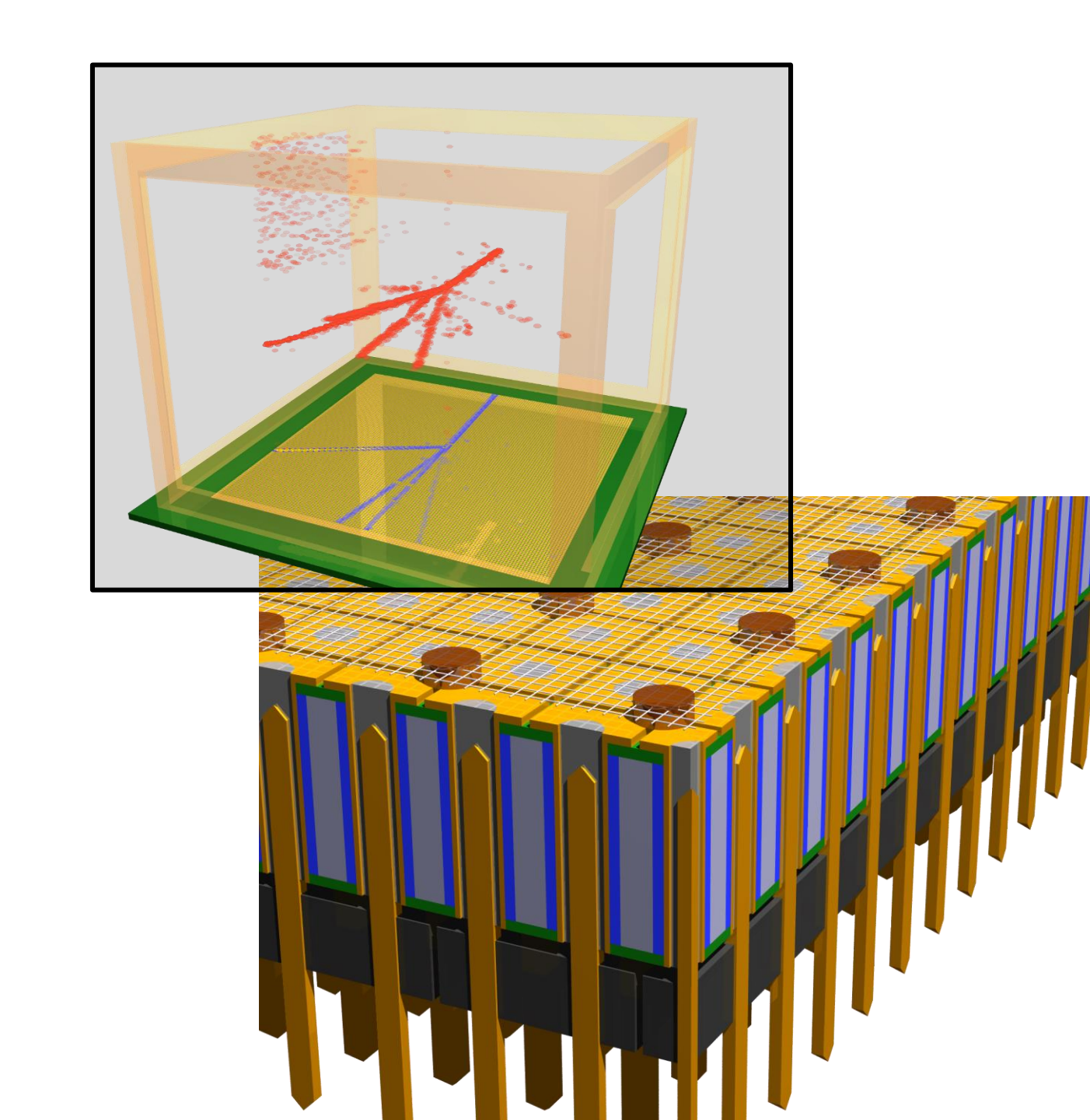
retour d'expérience ACTAR TPC

- ACTAR TPC en bref rappel des concepts
- plan de pads (FAKIR)
 conception à fiabiliser
- autres développements

Jérôme Giovinazzo, LP2i Bordeaux





ACTAR TPC décliné en 2 géométries

ACtive **TAR**get & **T**ime **P**rojection **C**hamber

une TPC versatile pour la physique nucléaire

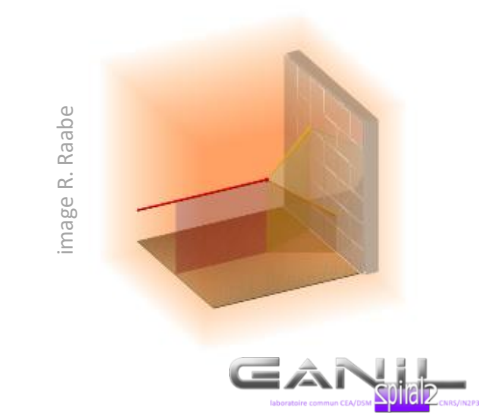
réactions nucléaires

- collab. MAYA (GANIL)« cible active »
- plan de pads carré (256×256 mm²)
- traces transverses longues (& détecteurs additionnels)

radioactivités « exotiques »

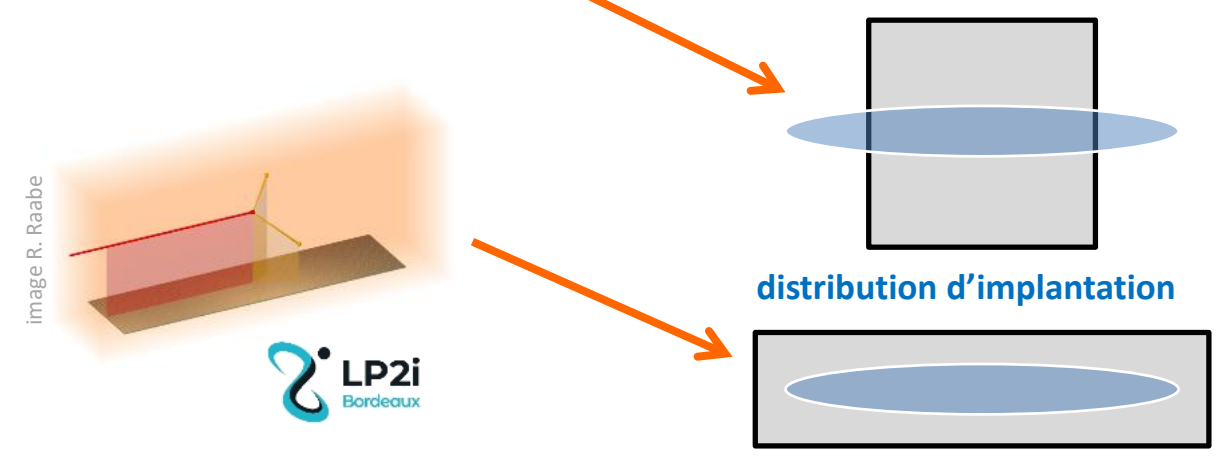
(émission de protons)

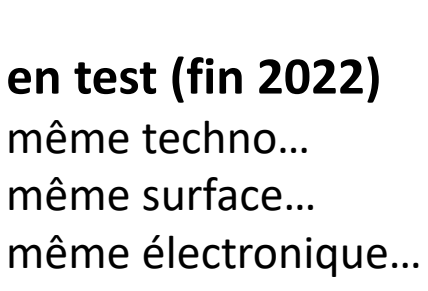
- TPC radioactivité 2P (CENBG)
- plan de pads rectangulaire (128×512 mm²)
- implantation ions
 - → profondeur d'implantation grande dispersion
- émission de protons
 - → traces transverses courtes



en phase d'exploitation

- campagnes GANIL
 2019, (2020,) 2021, 2022
- mode « cible active »
 & « décroissance »
 - → énergie GANIL (75 MeV/A)
 - → énergie RIKEN (250 MeV/A) ou GSI (600 MeV/A)





ACTAR TPC @ LISE

le plan de pads: FAKIR

R&D: PCB à cœur métallique

- grande densité de signaux (16384 pads de 2×2 mm²)
- tenue mécanique (vide) déformation & étanchéité

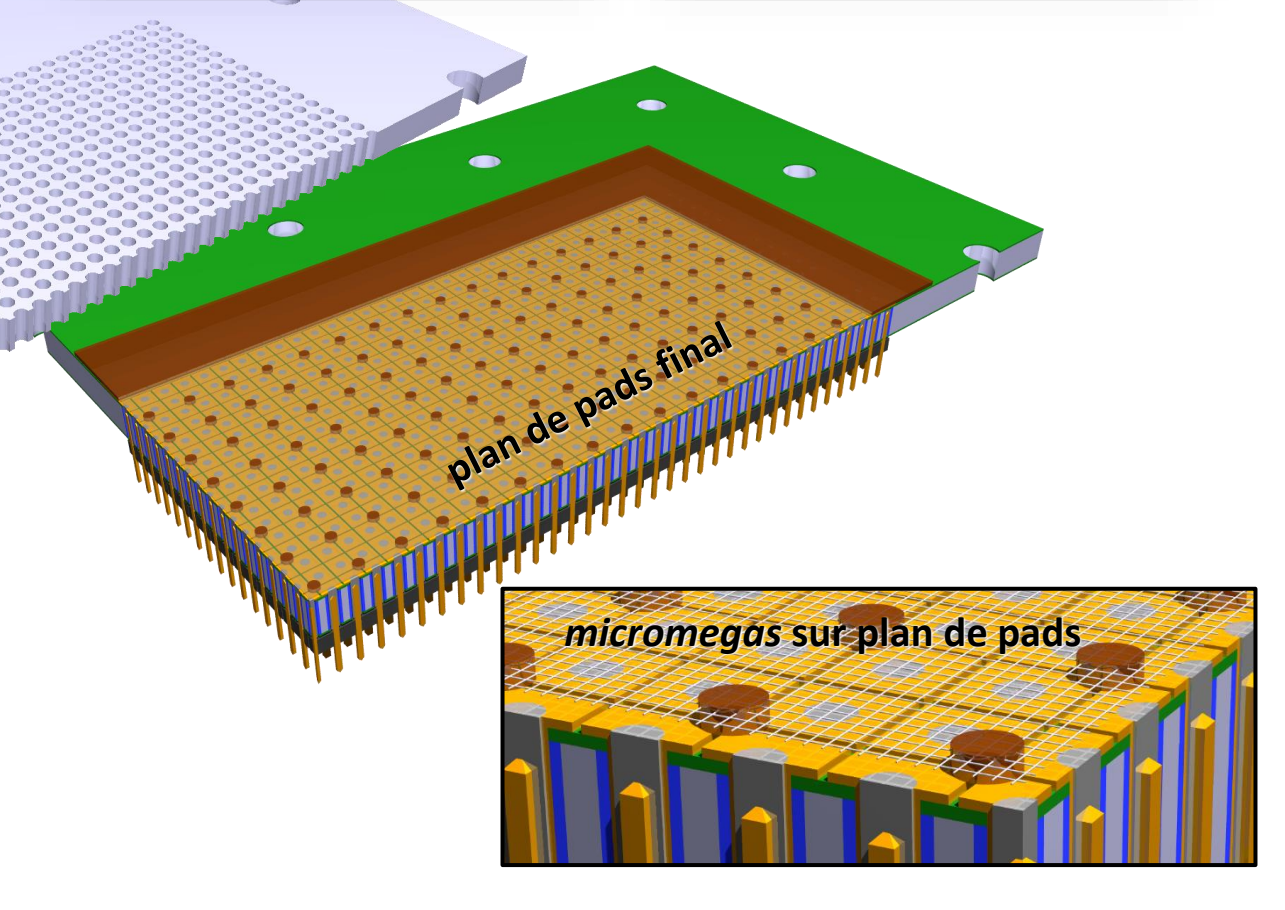
développé avec l'atelier PCB du CERN

cœur métallique

(R. de Oliveira) étapes PCB + micromegas

- démonstrateur CENBG
- géométrie « réaction » GANIL
- → géométrie « décroissance »

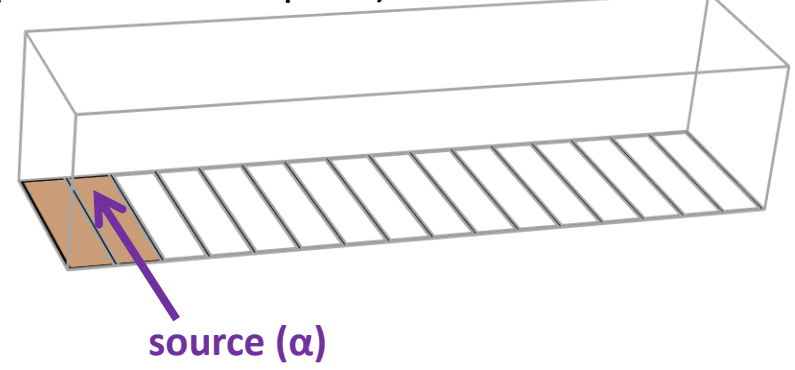




le détecteur version « décroissance »

équipement partiel (électronique)

(1024 ou 2048 pads)



1. pulser sur micromesh

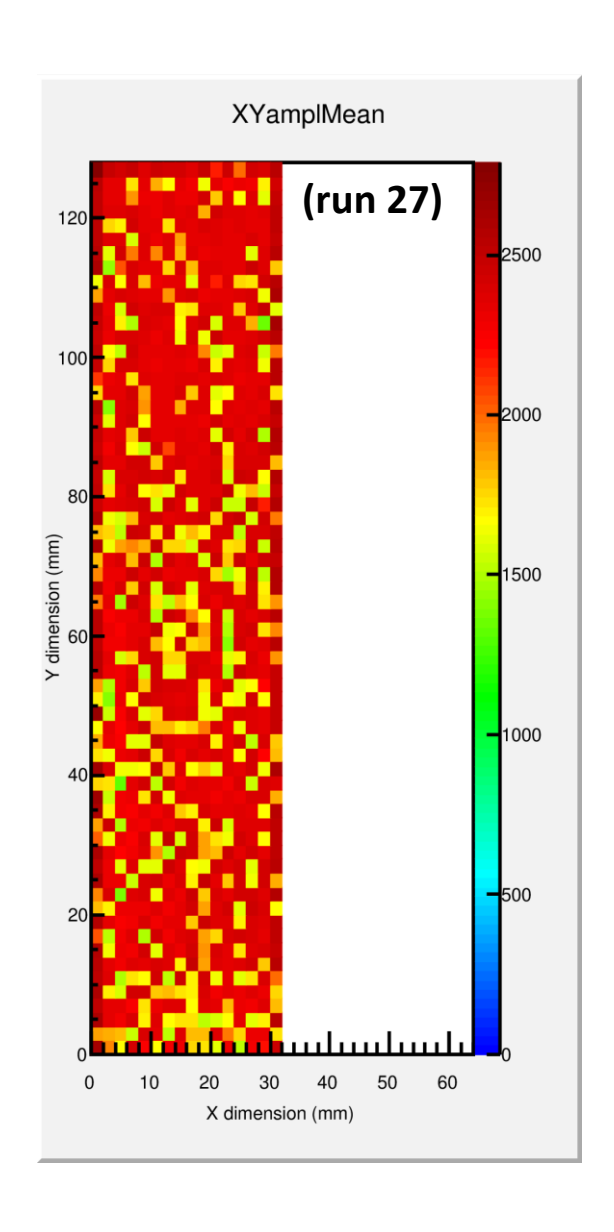
- pas de HT
- signal induit sur tous les pads

2. source alpha

- HT micromegas et cage de champ
- traces des particules

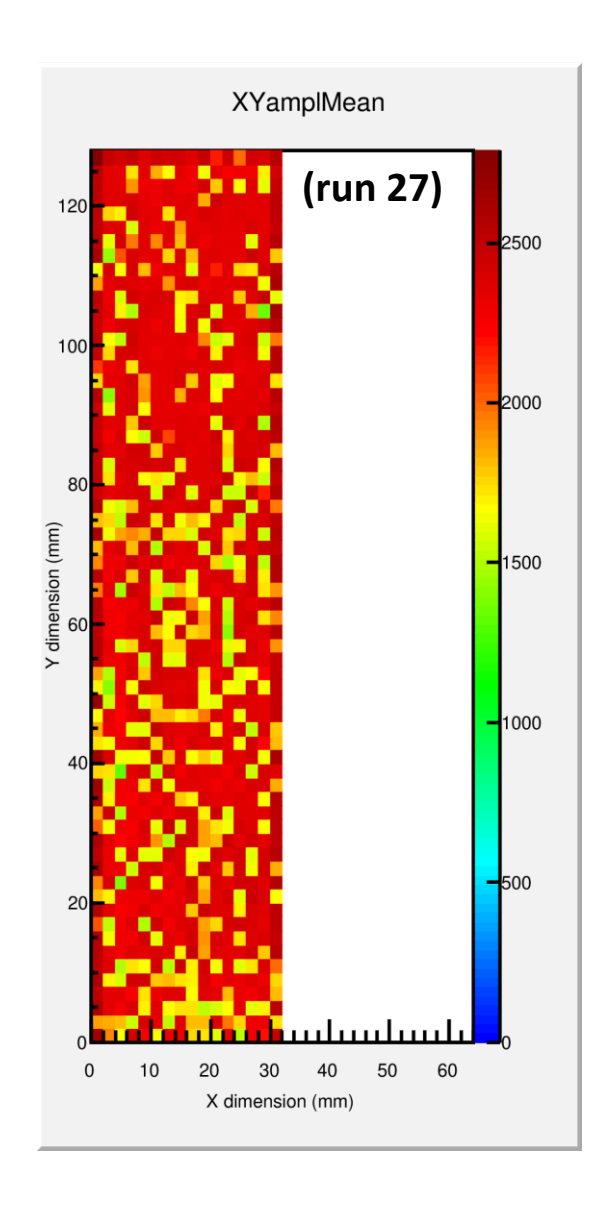


tests pulser: inhomogénéité d'amplitude



perte de 30 à 50 % de l'amplitude du signal!

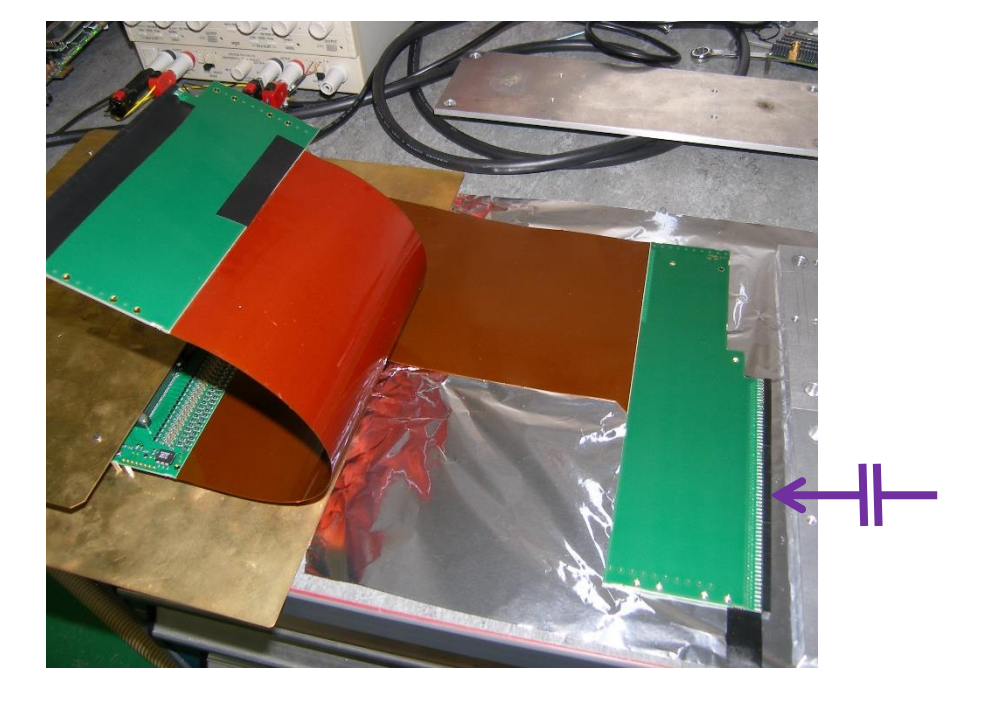
tests pulser: inhomogénéité d'amplitude



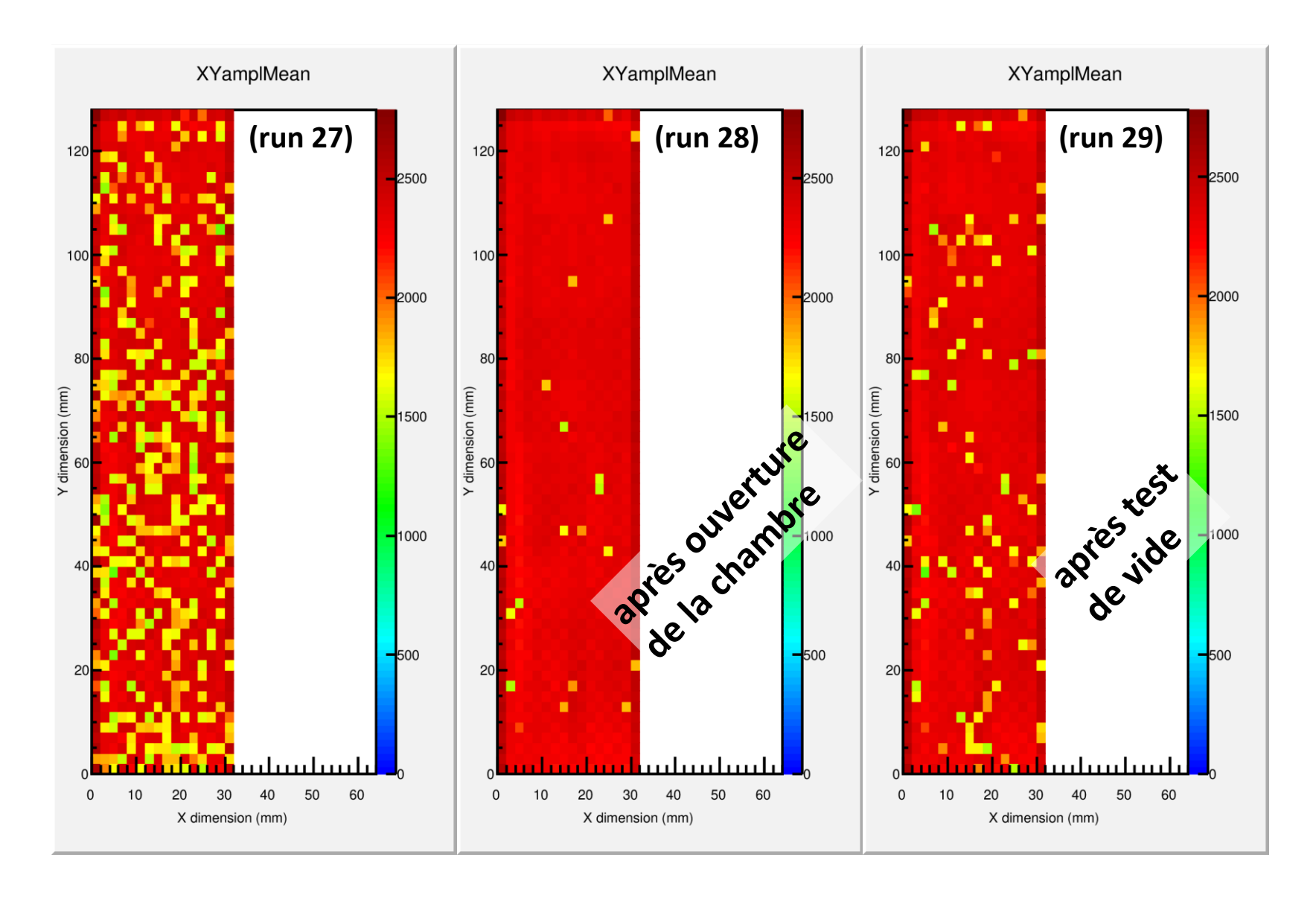
perte de 30 à 50 % de l'amplitude du signal!

vérification de toute la chaîne électronique

- circuits de connexion flexible (pads ↔ front-end)
- cartes front-end
 injection directe d'un pulse
 sur capa en entrée



tests pulser: variabilité d'amplitude



perte de 30 à 50 % de l'amplitude du signal!

variabilité d'une mesure à l'autre

pas de reproductibilité!

tests pulser: analyse du signal

fit du signal $f(t) = \mathbf{A} \cdot \exp(-3 \cdot \mathbf{r}(t))$ with $\mathbf{r}(t) = (t - \mathbf{t_0})/\mathbf{\tau}$

corrélations entre paramètres ("bon" run)

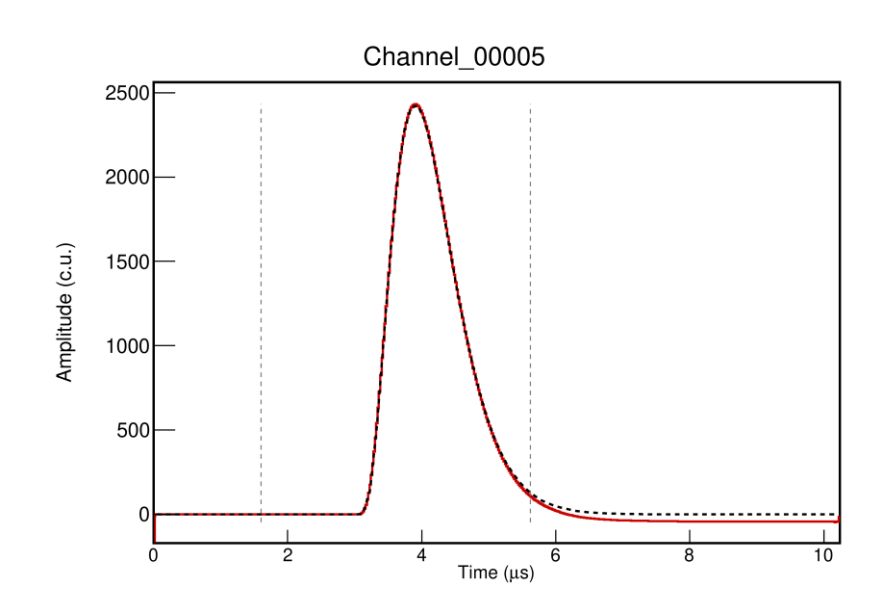
paramètres:

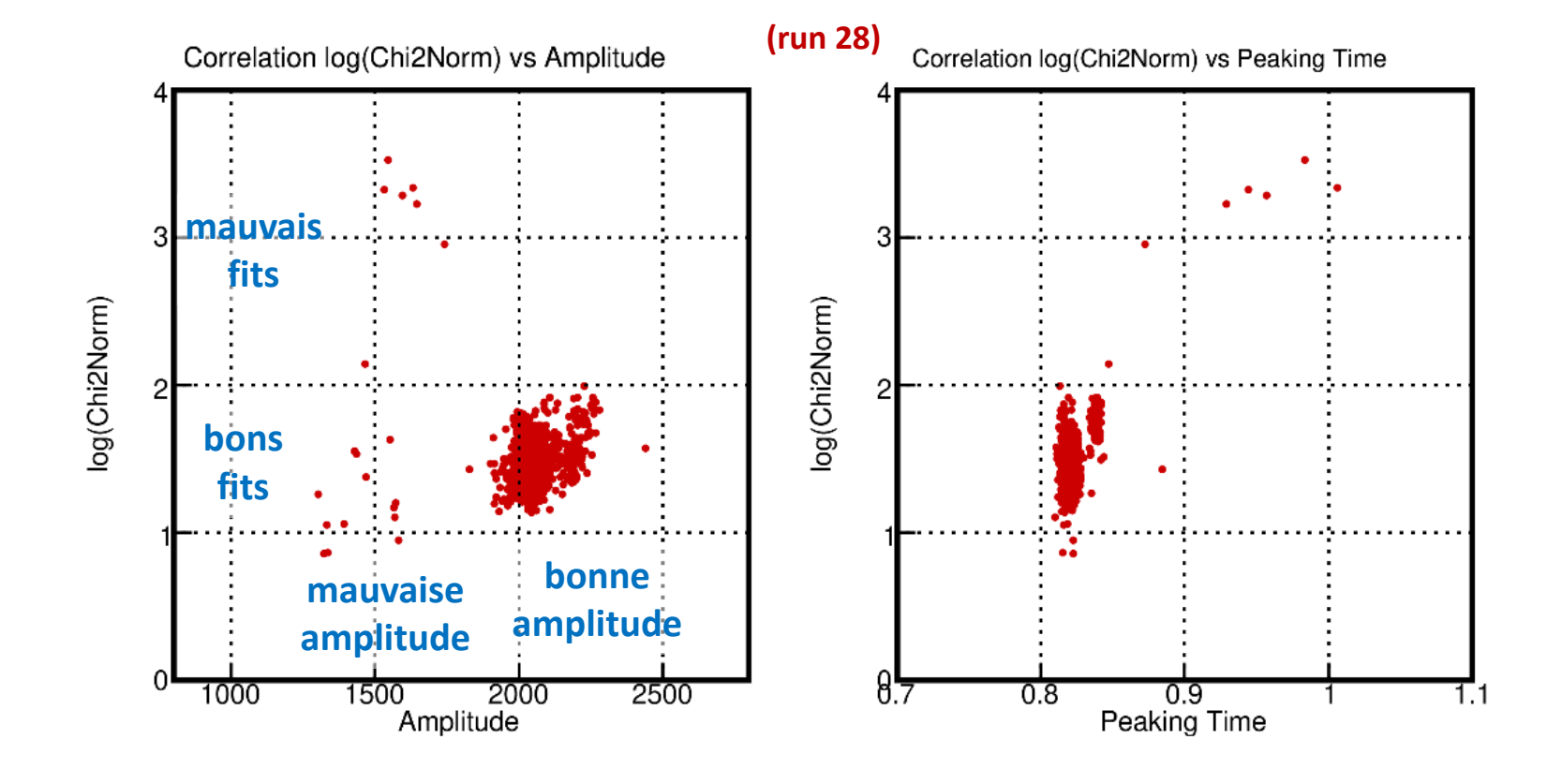
A amplitude

t_o décalage temps

τ shaping (largeur)

χ²/dof qualité du fit





tests pulser: analyse du signal

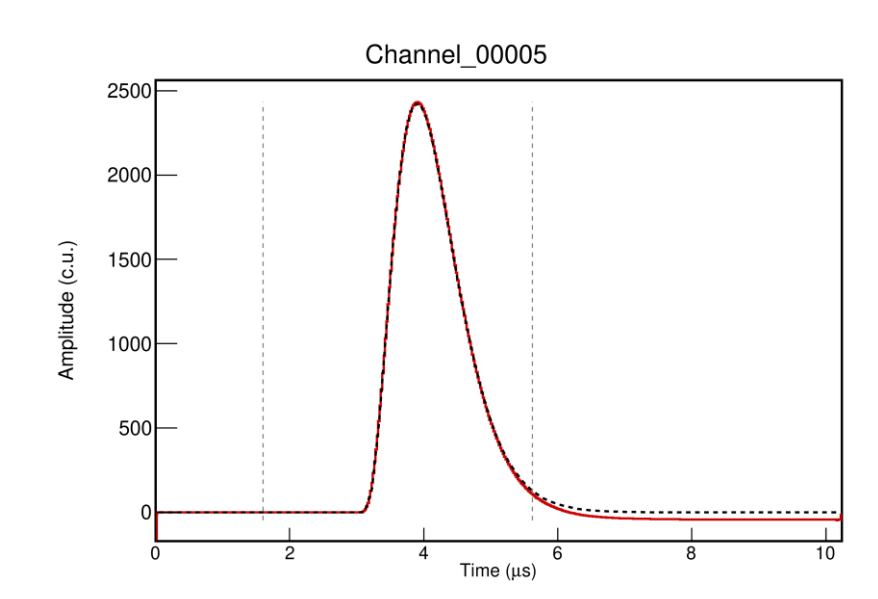
fit du signal $f(t) = \mathbf{A} \cdot \exp(-3 \cdot \mathbf{r}(t))$ with $\mathbf{r}(t) = (t - \mathbf{t_0})/\mathbf{\tau}$ paramètres:

A amplitude

t_o décalage temps

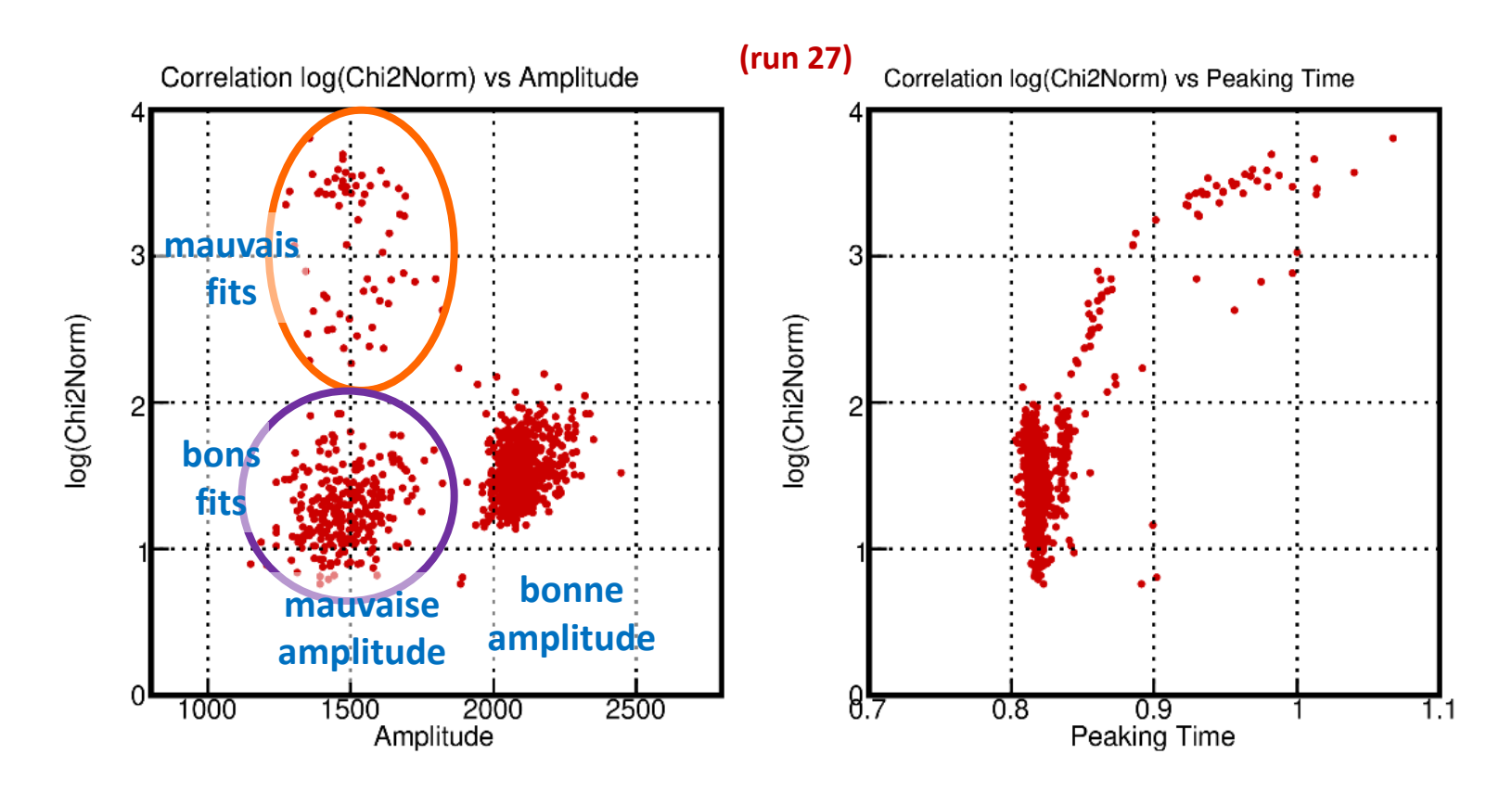
τ shaping (largeur)

χ²/dof qualité du fit



corrélations entre paramètres ("mauvais" run)

- mauvais fit (forme signal) ⇒ mauvaise amplitude
- mais la plupart des pads avec mauvaise amplitude ont une forme correcte!



source du problème: plan de pads

```
mêmes carte (élect.) / différents pads ⇒ « pattern » très différent

→ pas les cartes

mêmes pads (élect.) / différentes cartes ⇒ « pattern » ~ similaire

(reproductibilité...)

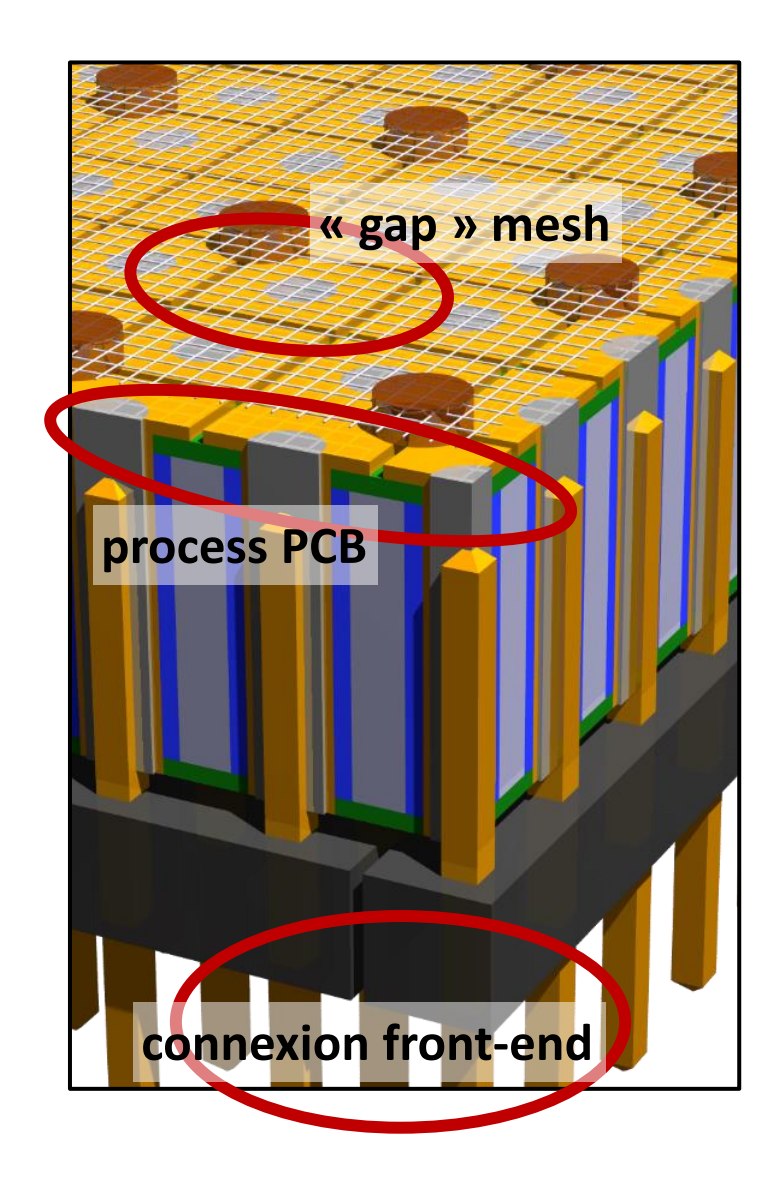
→ pas la connexion au cartes
```

- → problème du *process* PCB ?
- → problème « gap » mesh ? (induction)

test du « gap » mesh:

 \rightarrow pulser (induction): $\Delta A \propto \Delta d$

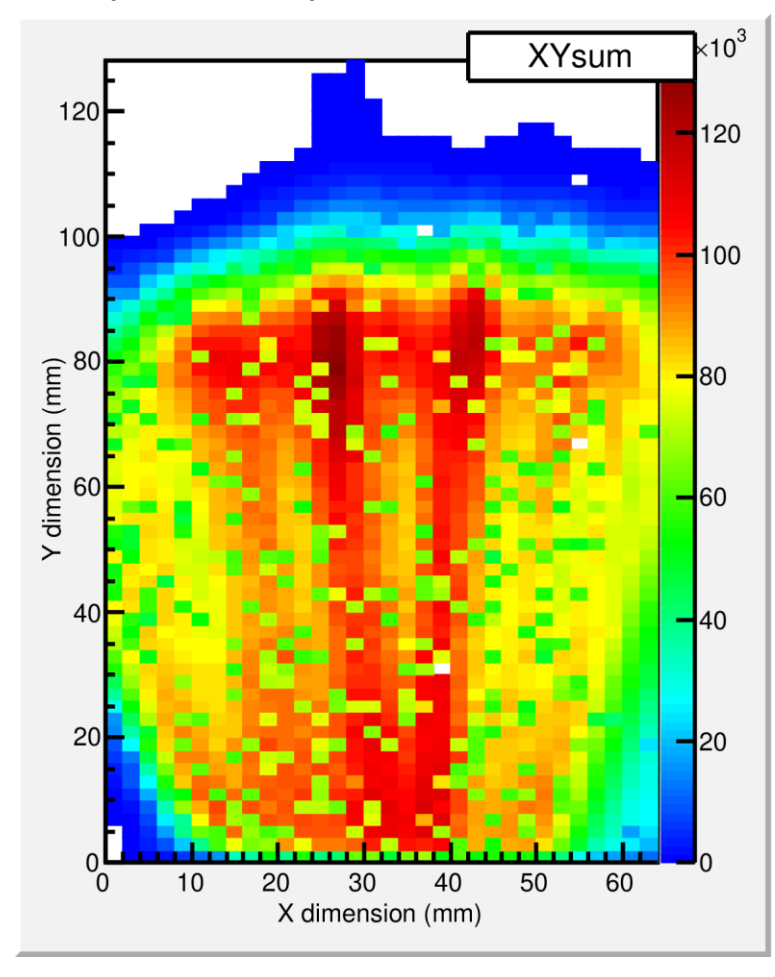
 \rightarrow source (collection): $\triangle A \propto (\triangle d)^2$



test en source alpha

cumul des traces alpha

(amplitude / pad)



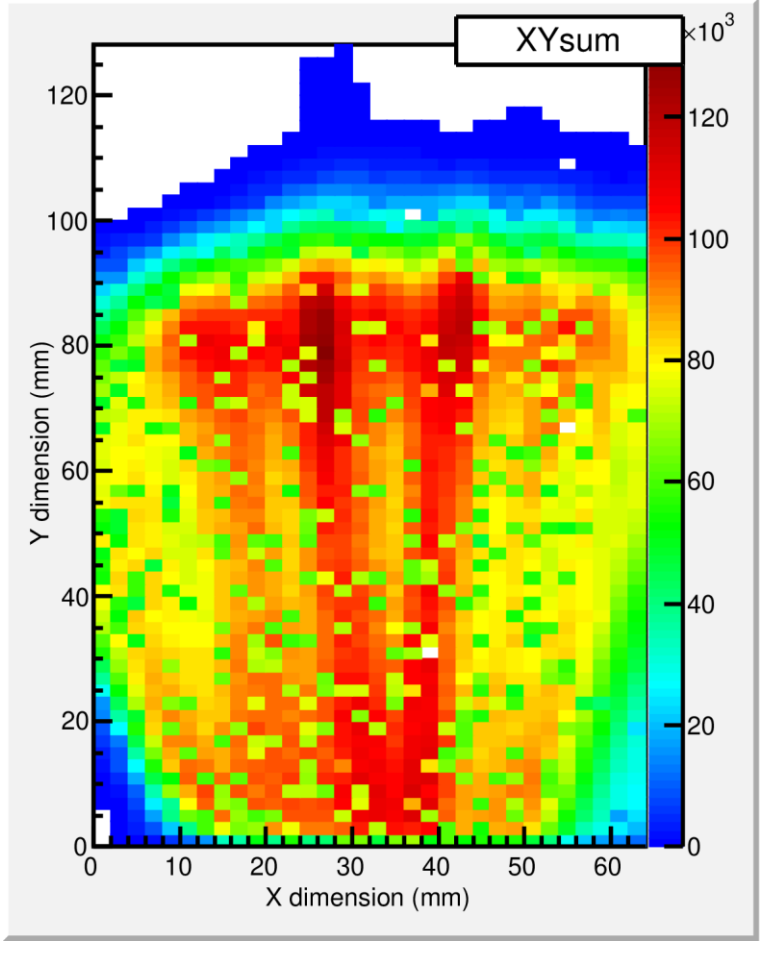
effet similaire aux test pulser

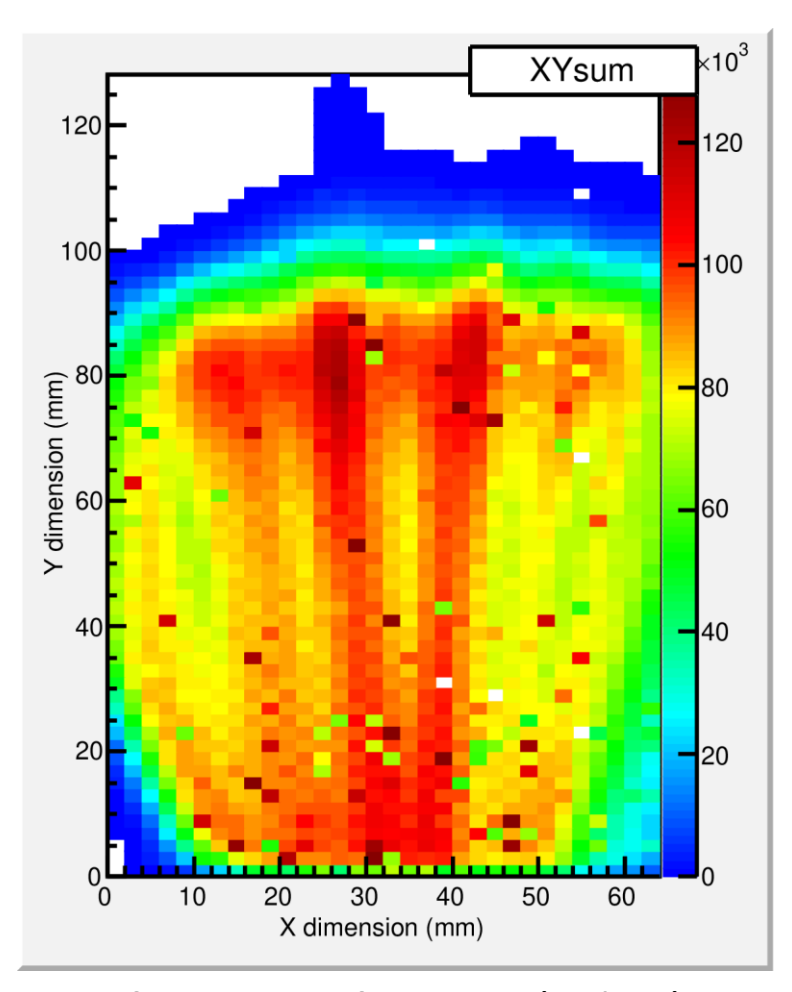
- → est-ce que cela peut être corrigé par étalonnage ? (pulser utilisé pour alignement des gains)
- → qu'en est-il des pads avec une mauvaise forme de signal ?

test en source alpha

cumul des traces alpha

(amplitude / pad)





alignement des gains (pulser)

l'étalonnage corrige la plupart
des pads, pas tous ← reproductibilité

pour ces pads, même problème induction & collection

→ pas lié au « gap »

difficulté de ne pas avoir de variation pour les séries de mesures pulser (point d'étalonnage) et la mesure en source...

pas d'étalonnage

conclusion sur le plan de pads

- grande variabilité des mauvais pads
- problème sittué au niveau pad-pin:
 - pas l'électronique
 - pas la connexion
 - pas le gap

comparaison de 2 *runs* consécutifs (pulser)

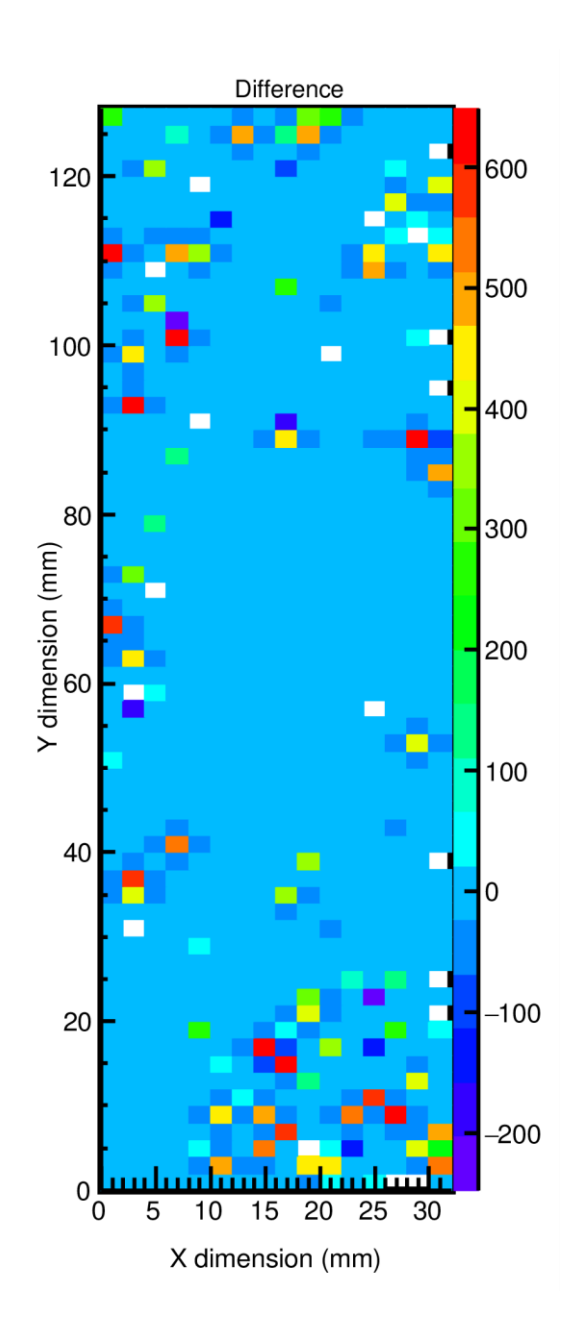
les variations influencent les pads voisins!!

!!! DETECTOR INUTILISABLE !!!

- jamais observé sur les plans précédents principale différence: couche résistive ?
- → discussion CERN PCB workshop

hypothèse: **oxydation pâte argent** \rightarrow résistance variabilité aux conditions: pression, gaz, contraintes méca... (mais tests avec résistance série peu concluant)

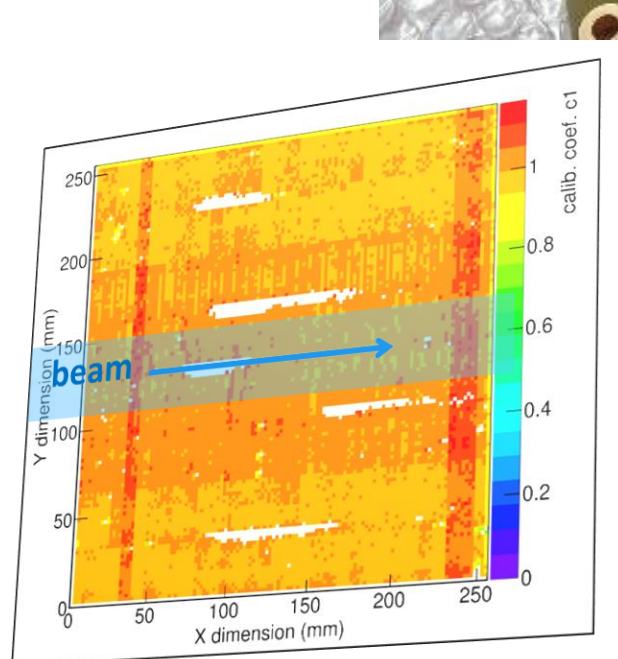
réalisation d'un nouveau plan de pads...

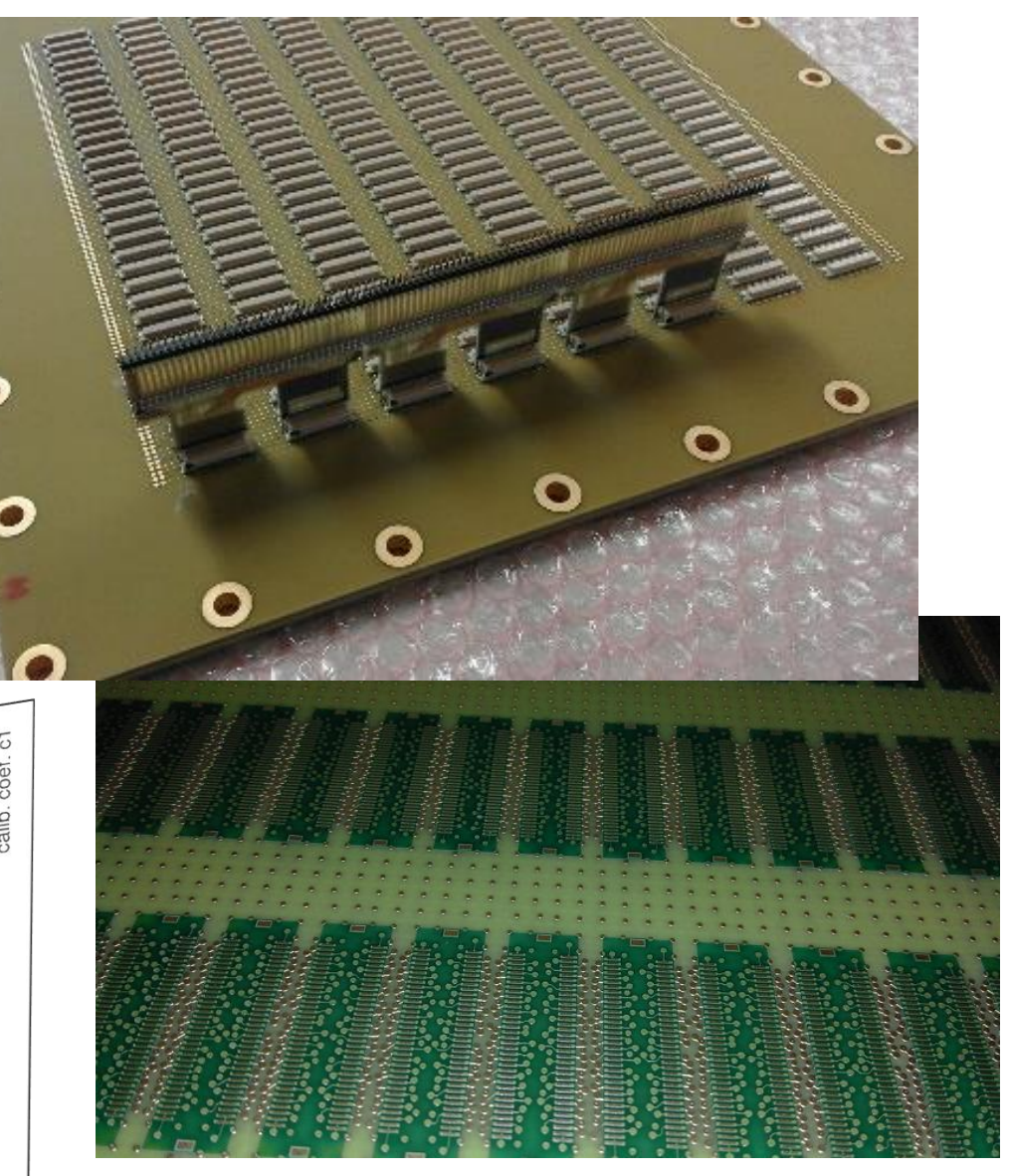


plan de pads version PCB « classique »

- circuit collé sur brides
 connexion par « lumières » dans la bride
 (P. Gangnant, GANIL)
- routage complexe (M. Blaizot, GANIL)
 - pads de 2 mm vers connecteurs 0,5 mm (pitch)
 - nécessité d'un PCB 16 couches
 - connecteurs vers front-end fragile
- problème à la réalisation des court-circuits avec la bride (problème soluble) zones « mortes »

→ utilisé dans la campagne 2019 (2 nat. comm., 1 NIM)

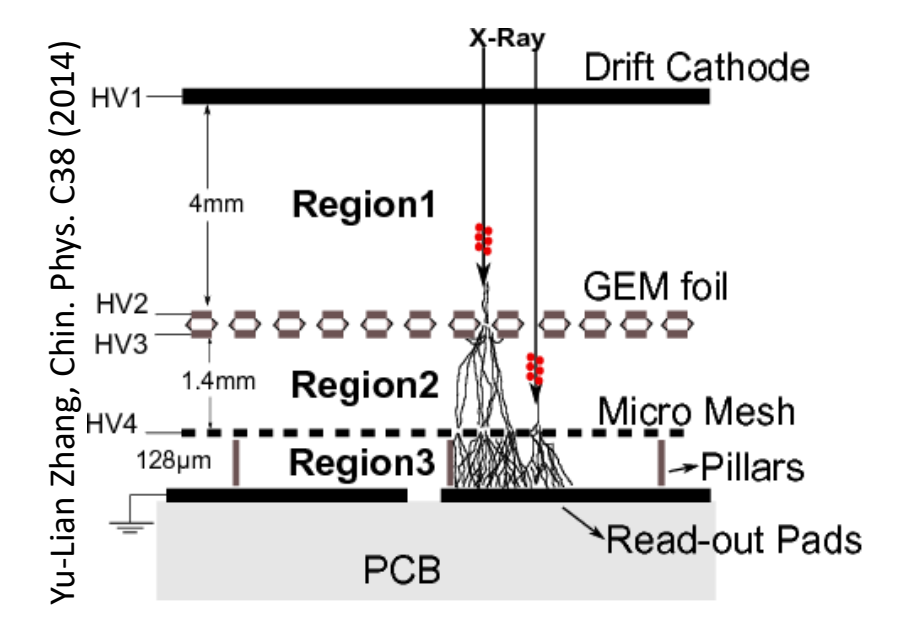




développements en cours (GANIL)

problème du faible gain des gaz purs (monoatomiques ou diatomiques)

amplification: micromegas + GEM

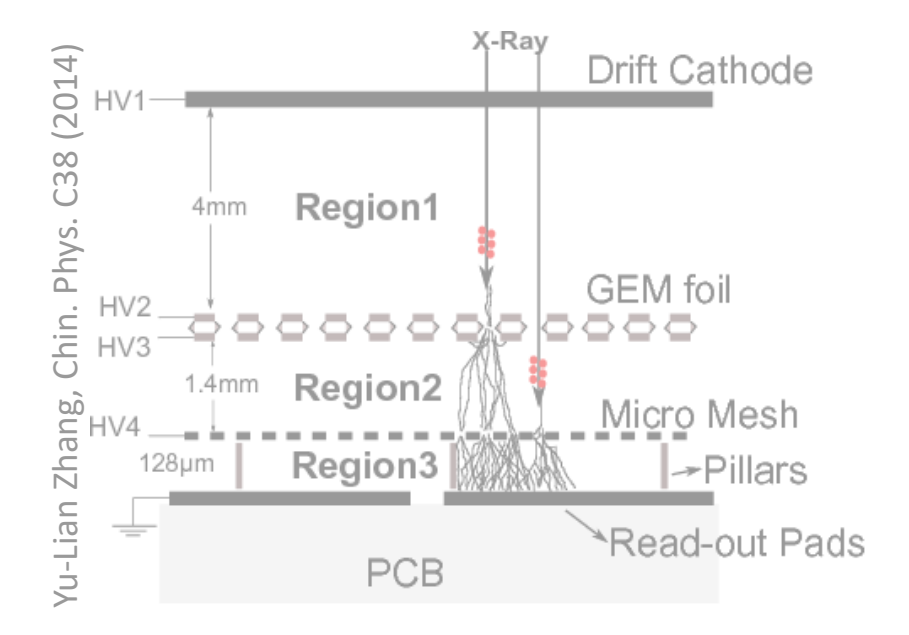


- + recyclage des gaz (polluants, chers...)
 - → exposé de C. Nicolle

développements en cours (GANIL)

problème du faible gain des gaz purs (monoatomiques ou diatomiques)

amplification: micromegas + GEM



+ recyclage des gaz (polluants, chers...)

→ exposé de C. Nicolle

problème de la charge déposée par le faisceau (mode cible active)

probabilité de réaction faible quelques événement / flux incident

- atténuation par polarisation des pads jusqu'à ~10⁴ ion / s
- masque faisceau (électrostatique)
 - \rightarrow 10⁶ ions (lourds) / s
 - → double cage (écrantage charge espace)

mais perte de la trace faisceau...



merci de votre attention